

## Mo硫化物クラスター担持ゼオライトのEXAFS測定

工学部総合試験所

谷 口 貢, 辰 巳 敬

### 1. 緒 言

種々の触媒活性を示すMoと多機能な担体であるゼオライトの組み合わせは、触媒として大変魅力的なものである。カチオン交換体であるゼオライトへの最も有効な活性金属担持法はイオン交換法であると考えられるが、Mo種はほとんどがアニオンとして存在するため、Mo種をイオン交換法によりゼオライトに導入した例は少ない。本研究では、近年新規に合成された正電荷を持つMo硫化物クラスター $[Mo_3S_4(H_2O)_9]^{4+}$ 及びMoNi硫化物クラスター $[Mo_3NiS_4Cl(H_2O)_9]^{3+}$ (Fig. 1)に着目し、イオン交換法によるゼオライトへの担持を試みた。クラスターは担持前にはX線構造解析により構造が決定されうるが、ゼオライトに担持された後はクラスターが分子単位で分散しているためX線構造解析を行うことはできず、EXAFS以外に有力な構造解析手段がない。本稿ではMo及びMoNiクラスターのEXAFSを測定し、ゼオライトへの担持前後のクラスターの構造変化を評価した結果を述べる。

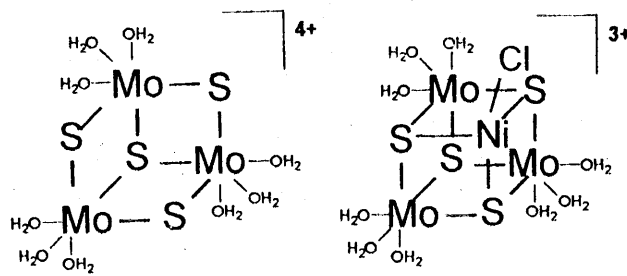


Figure 1 Structure of  $[Mo_3S_4(H_2O)_9]^{4+}$  and  $[Mo_3NiS_4Cl(H_2O)_9]^{3+}$

### 2. 実 験

Mo硫化物クラスター及びMoNi硫化物クラスターは文献記載の方法[1,2]により合成した。ゼオライト(NaYまたはKL)への担持はイオン交換法により行い、 $Mo_3S_4/NaY$ (Mo loading 5.0 wt%),  $Mo_3S_4/KL$ (2.1wt%),  $Mo_3NiS_4/KL$ (1.8 wt%)を得た。EXAFSスペクトル測定は工学部総合試験所強力X線実験室で行った。装置はRigaku R-EXAFS 2100Sを用いた。Mo K-edge EXAFSの測定はX線源としてWフィラメント、Cuターゲットを用い出力30kV-280mAで、透過法によりおこなった。回折結晶Ga(400),  $I_0$ カウンタ Xe, Iカウンタ SSDをそれぞれ用いた。Ni K-edge EXAFSの測定はX線源としてLaB<sub>6</sub>フィラメント、Moターゲットを用い出力16kV-500mAとした。MoNiクラスターのEXAFS測定は透過法により行い、ゼオライト担持後のMoNi硫化物クラスターのEXAFS測定は蛍光法によりおこなった。担持触媒について蛍光EXAFSを測定した理由は、透過法とすると担体ゼオライト及び共存するモリブデンによる吸収が大きく、Ni担持量が小さいために十分なS/N比がとれないためである。分光結晶Ga(440),  $I_0$ カウンタ Kr, Iカウンタ SSDをそれぞれ用いた。測定したスペクトルの解析はIBM PC互換機上で動作するソフトウェアRigaku REXを用いた。

### 3. 結果と考察

#### 3.1 Mo 硫化物クラスターの局所構造

Fig. 2 に  $k^3$  の重みをかけたEXAFS振動  $\chi(k) \times k^3$  を示す。Mo<sub>3</sub>S<sub>4</sub>/NaY, Mo<sub>3</sub>S<sub>4</sub>/KL 共にMo クラスターとほぼ同じピーク位置、振幅を示しており、担持前後での大きな曲線の変化は認められない。Mo<sub>3</sub>S<sub>4</sub>/NaY, Mo<sub>3</sub>S<sub>4</sub>/KL で  $k = 10\sim14$  の範囲でノイズが目立つのは、これらのMo 担持量がそれぞれ 5.0 wt%, 2.1 wt% と小さいため高い  $k$  領域で S/N 比が悪くなつたものである。従ってEXAFS振動からはクラスターの構造が担持前後で大きく変化しているとは認められない。

EXAFSスペクトルのフーリエ変換結果を Fig. 3 に、そのカーブフィッティングによる解析結果を Table 1 にそれぞれ示す。Mo クラスターの構造の文献値 [3]も併せて示した。Mo クラスターについてカーブフィッティングを行った結果、すべてのパラメーターでは X 線構造解析により決定された文献値との一致をみた。Mo<sub>3</sub>S<sub>4</sub>/NaY の解析結果は、担持前に比べ第一ピーク (Mo-O, Mo-S) のピークがやや大きく、第二ピーク (Mo-Mo) がやや小さいものとなつた。これはEXAFSスペクトルで  $k = 3\sim10$  の範囲で振幅が大きく、 $k = 10\sim14$  の範囲で振幅が小さくなつてゐることに対応する。後者の振幅が小さくなつた理由のひとつに S/N が悪くなつてゐることが挙げられる。カーブフィッティングを行なつた結果、モリブデンについては配位数、結合距離ともにはば担持前と一致した。Sについては、結合距離はほぼ一致し、配位数がやや増加した結果となつた。これらの結果から、ゼオライト担持後もクラスターの構造はほぼ保持されていると結論できる。

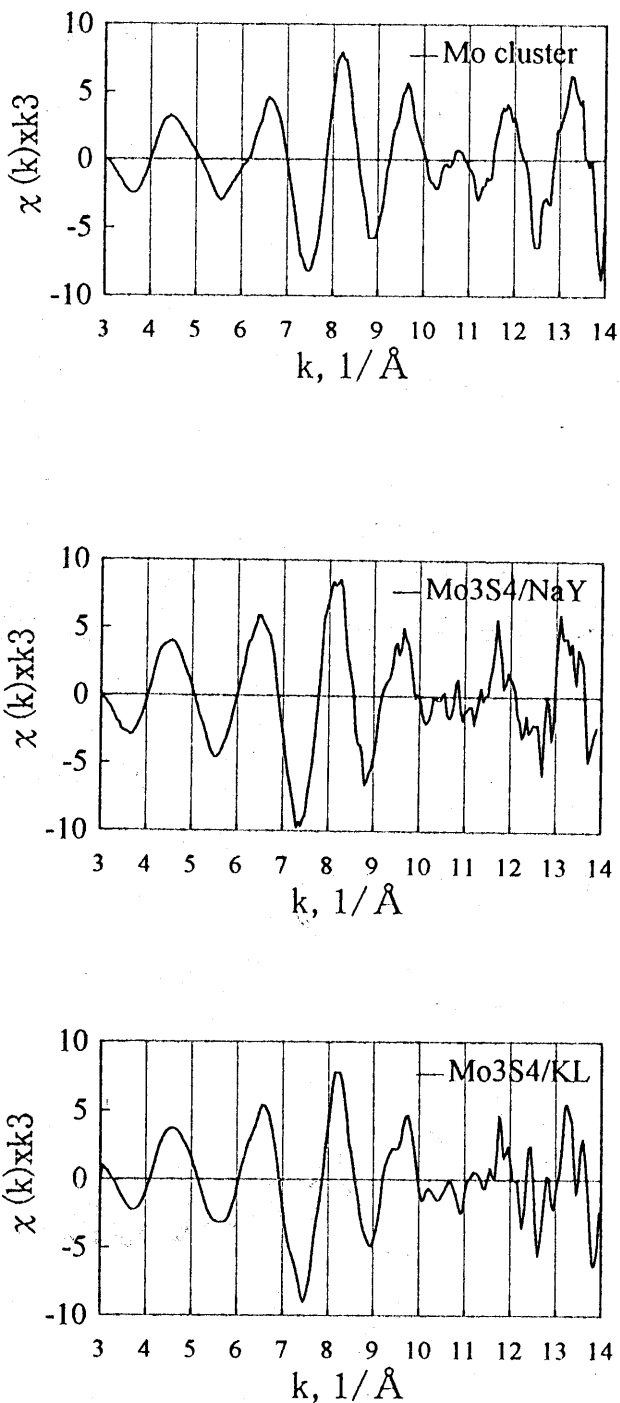


Figure 2 Mo K-edge EXAFS spectra of Mo cluster loaded on zeolites

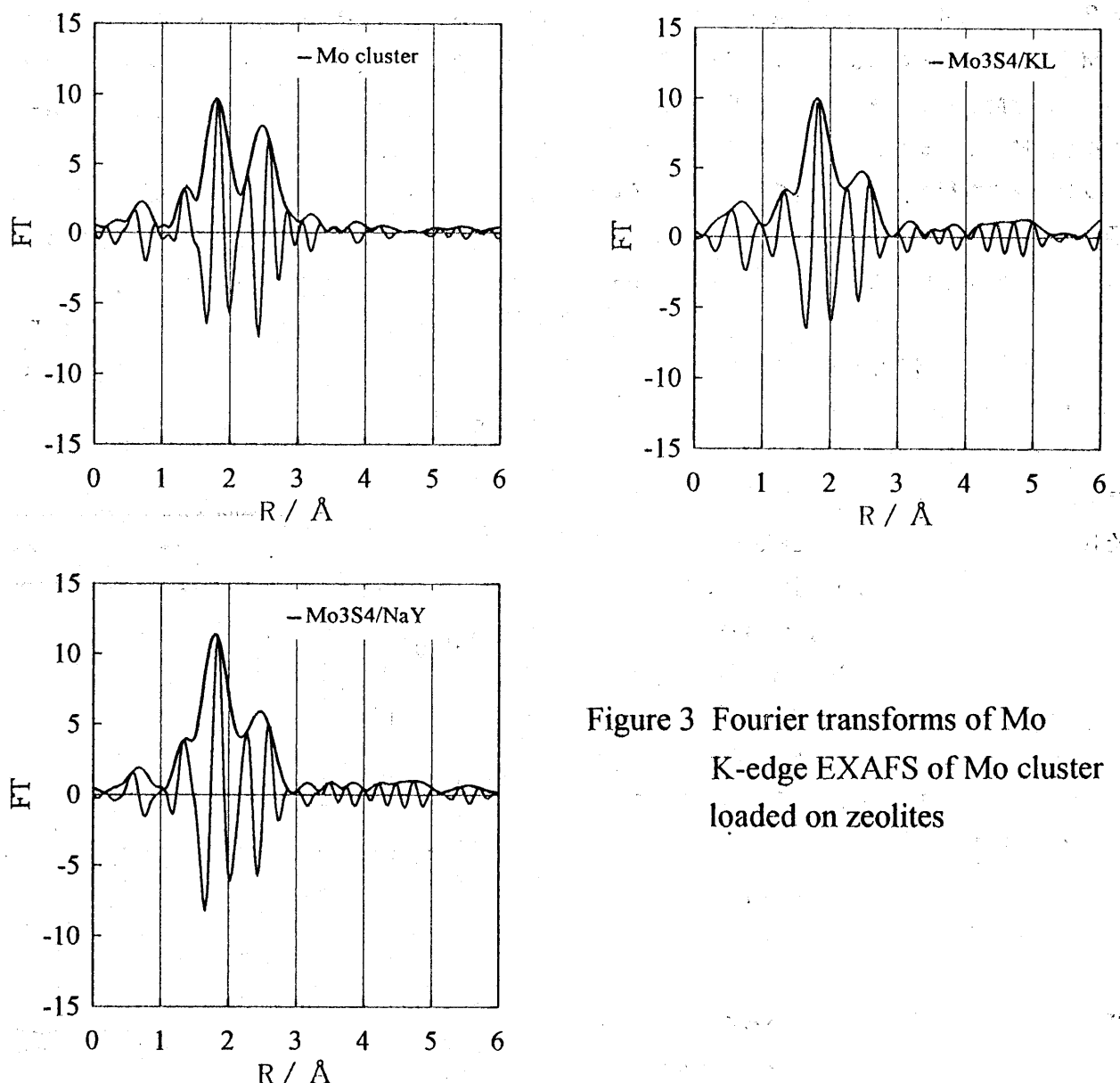


Figure 3 Fourier transforms of Mo K-edge EXAFS of Mo cluster loaded on zeolites

Table 1 Curve fitting results of Mo K-edge EXAFS data for Mo cluster and  $\text{Mo}_3\text{S}_4$  /zeolite

Sample	Mo-S		Mo-Mo		Mo-O	
	N <sup>a</sup>	R (nm) <sup>b</sup>	N <sup>a</sup>	R (nm) <sup>b</sup>	N <sup>a</sup>	R (nm) <sup>b</sup>
$[\text{Mo}_3\text{S}_4(\text{H}_2\text{O})_6]\text{Cl}_4$ <sup>c</sup>	3.0	0.230	2.0	0.274	3.0	0.218
$[\text{Mo}_3\text{S}_4(\text{H}_2\text{O})_6]\text{Cl}_4$	2.9	0.230	2.0	0.274	3.3	0.218
$\text{Mo}_3\text{S}_4 / \text{NaY}$	3.5	0.232	2.0	0.276	3.9	0.217
$\text{Mo}_3\text{S}_4 / \text{KL}$	3.0	0.231	1.7	0.278	2.7	0.216

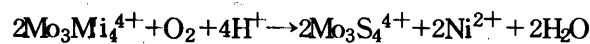
<sup>a</sup> Coordination number.

<sup>b</sup> Radial distance from the absorber to the backscatter atom.

<sup>c</sup> Crystallographic data from ref.3. The radial distance between Mo and S was determined by taking an average of one Mo-( $\mu_3$ -S) (0.2337 nm) and two Mo-( $\mu_2$ -S) (0.2283 nm).

### 3.2 MoNi 硫化物クラスターの局所構造

MoNi クラスターの Mo K-edge EXAFS スペクトルは Mo クラスターと極めて類似したものとなり、MoNi クラスターとして解析しカーブフィッティングを行うことは不可能であった。その理由は Mo-Mo と Mo-Ni の距離がきわめて近くピークの分離が不可能であること、Ni による散乱が Mo に比べ弱いこと、Mo 周りの Ni の配位数が 1 であるのに対し Mo が 2 であることによる。そこで Ni K-edge EXAFS の測定を試みた。フーリエ変換した結果を Fig. 4 に、カーブフィッティングから得られたパラメータを Table 2 にそれぞれ示す。本研究で用いた MoNi 硫化物クラスター  $[Mo_3NiS_4Cl(H_2O)_9]^{3+}$  の X 線構造解析については報告がないので、参考のため  $[Mo_3NiS_4(H_2O)_{10}]^{4+}$  と  $[Mo_3NiS_4(Hnta)(nta)_2Cl]^{5-}$  の文献値 [4] を示した。MoNi 硫化物クラスター  $[Mo_3NiS_4Cl(H_2O)_9]^{3+}$  のカーブフィッティング結果は他の MoNi クラスター  $[Mo_3NiS_4(H_2O)_{10}]^{4+}$  と  $[Mo_3NiS_4(Hnta)(nta)_2Cl]^{5-}$  の値と良い一致を示した。担持後の試料  $Mo_3NiS_4/KL$  でも Ni-Mo に起因するピークが観察され、結合距離がほぼ等しかったことと併せて MoNi クラスターの特徴的なキュバン型構造が残っていることが示された。Ni-S 及び Ni-Mo の配位数の減少が観察されたが、これは下式に示したクラスターの酸素による分解 [2] が一部で起こっているためと解釈される。



分解してできた  $Ni^{2+}$  はゼオライトのカウンターカチオンとイオン交換して  $Ni(H_2O)_6^{2+}$  として存在し、それに伴い Ni-O という結合が生じ、第一シェル Ni-S の見かけの結合距離が短くなったものと解釈できる。

以上のようにして得られた Ni-Mo の結合距離、配位数を Mo K-edge EXAFS のカーブフィッティングのパラメーターに固定して用い、解析を行った。

MoNi クラスターの Mo K-edge EXAFS のフーリエ変換結果を Fig. 5 に、カーブフィッティング結果を Table 3 にそれぞれ示す。Mo-O と Mo-Mo の配位数に 2 割程度の差異が認められるが、他のパラメータは MoNi クラスター  $[Mo_3NiS_4(H_2O)_{10}]^{4+}$  と  $[Mo_3NiS_4(Hnta)(nta)_2Cl]^{5-}$  の値とおおむね一致した。担持後の試料  $Mo_3NiS_4/KL$  では Mo-O の配位数の減少がみられた他は、MoNi クラスターに近いパラメータを与えた、Mo クラス

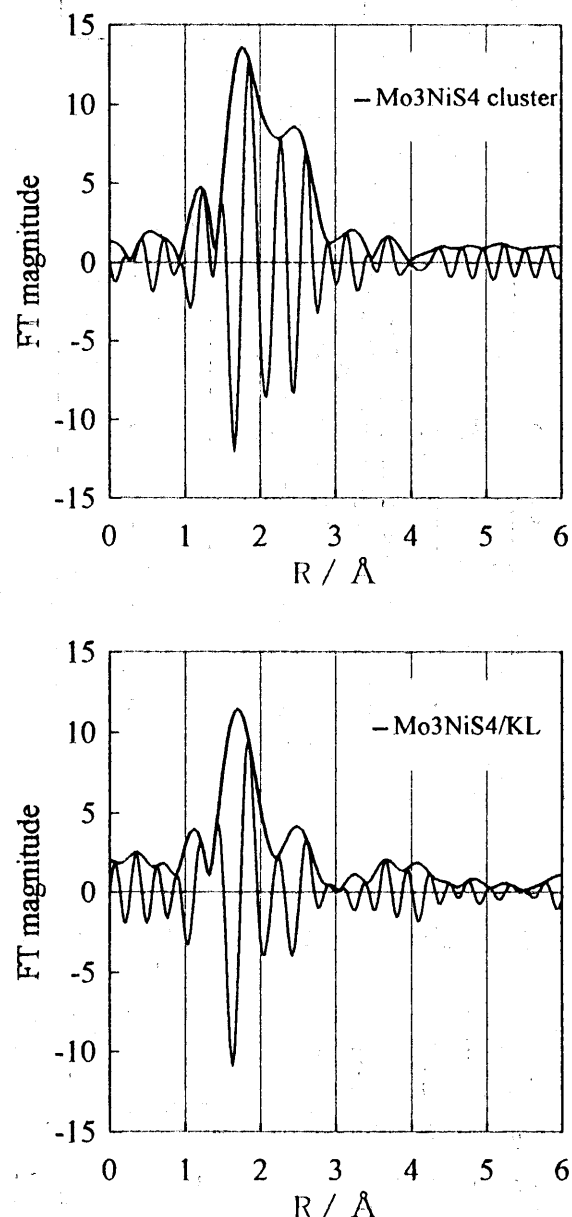


Figure 4. Fourier transform of Ni K-edge EXAFS of MoNi cluster loaded on KL

Table 2 Curve fitting results of Ni K-edge EXAFS data for MoNi cluster and KL supported catalysts

Sample	Ni-S		Ni-Mo		Ni-Cl		Ni-O		
	N <sup>a</sup>	R (nm) <sup>b</sup>							
[Mo <sub>3</sub> NiS <sub>4</sub> (H <sub>2</sub> O) <sub>10</sub> ] <sup>4+</sup> <sup>c</sup>	3.0	0.220	3.0	0.264	-	-	1.0	0.196	
[Mo <sub>3</sub> NiS <sub>4</sub> (Hnta)(nta) <sub>2</sub> Cl] <sup>5-d</sup>	3.0	0.222	2.0	0.267	1.0	0.224	-	-	
Ni-S (Cl)		Ni-Mo		Ni-O					
[Mo <sub>3</sub> NiS <sub>4</sub> Cl(H <sub>2</sub> O) <sub>9</sub> ] <sup>3+</sup>	2.9	0.222	3.0	0.267	-	-	-	-	
Mo <sub>3</sub> NiS <sub>4</sub> / KL	2.5	0.217	1.90	0.269	-	-	-	-	

<sup>a</sup> Coordination number.

<sup>b</sup> Radial distance from the absorber to the backscatter atom.

<sup>c</sup> Crystallographic data from ref.4

<sup>d</sup> Crystallographic data from ref.4; nta = nitrilotriacetate anion, N(CH<sub>2</sub>COO)<sup>3-</sup>.

Table 3 Curve fitting results of Mo K-edge EXAFS data for MoNi cluster and Mo<sub>3</sub>NiS<sub>4</sub> /KL

Sample	Mo-S		Mo-Mo		Mo-Ni		Mo-O	
	N <sup>a</sup>	R (nm) <sup>b</sup>						
[Mo <sub>3</sub> NiS <sub>4</sub> (H <sub>2</sub> O) <sub>10</sub> ] <sup>4+</sup> <sup>c</sup>	3.0	0.234	2.0	0.276	1.0	0.264	3.0	0.220
[Mo <sub>3</sub> NiS <sub>4</sub> (Hnta)(nta) <sub>2</sub> Cl] <sup>5-d</sup>	3.0	0.235	2.0	0.278	1.0	0.267	-	-
[Mo <sub>3</sub> NiS <sub>4</sub> Cl(H <sub>2</sub> O) <sub>9</sub> ] <sup>3+</sup>	3.0	0.230	1.6	0.280	1.0	0.267	3.7	0.221
Mo <sub>3</sub> NiS <sub>4</sub> / KL	2.8	0.230	2.0	0.280	0.65	0.269	1.2	0.210

<sup>a</sup> Coordination number.

<sup>b</sup> Radial distance from the absorber to the backscatter atom.

<sup>c</sup> Crystallographic data from ref.4. The radial distance between Mo and S was determined by taking an average of one Mo-S (0.2349 nm) and two Mo-S (0.2334 nm).

<sup>d</sup> Crystallographic data from ref.4. nta = nitrilotriacetate anion, N(CH<sub>2</sub>COO)<sup>3-</sup>. The radial distance between Mo and S was determined by taking an average of one Mo-S (0.2349 nm) and two Mo-S (0.2343 nm).

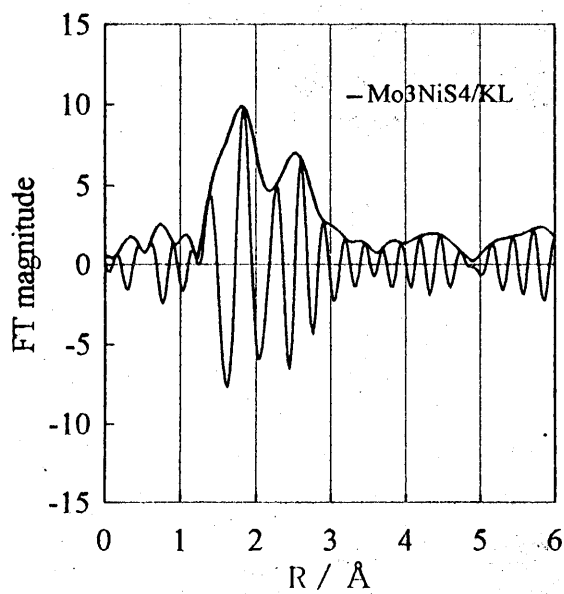
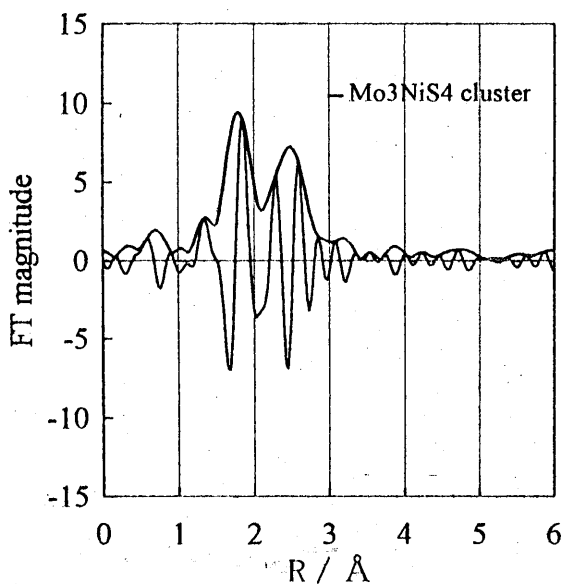


Figure 5 Fourier transform of Mo K-edge EXAFS spectra of MoNi cluster loaded on KL

ターの不完全キュバン型構造が大きく変化している傾向はみられなかった。

以上の結果から、MoNi クラスターはイオン交換法による担持後一部が空気酸化により分解を受けているものの MoNi クラスターのものと思われる Ni-Mo の配位も確認され、MoNi 硫化物クラスターがほぼ構造を保ったままゼオライトに担持されたといえる。

#### 4. 結論

ゼオライト担持後の Mo 硫化物クラスター及び MoNi 硫化物クラスターの構造解析を EXAFS を用いて行なった。その結果、Mo 硫化物クラスターは Mo K-edge EXAFS 解析により担持後も構造は保たれていた。MoNi 硫化物クラスターの構造解析は Mo K-edge EXAFS からは困難であったが、蛍光法による NiK-edge EXAFS の測定により解析可能となった。解析を行った結果、酸化による若干の分解が認められたものの、ほぼ構造は保たれていた。

#### 謝辞

理学部の朝倉清高助教授には EXAFS の測定、解析の両面で貴重な助言とご指導をいただいた。また、工学部総合試験所強力 X 線室の小野勝男助手と府川和弘技官、理学電機株式会社の田口武慶氏には実験面でご協力いただいた。ここに記して謝意を表する。

#### 参考文献

1. T. Shibahara, M. Yamasaki, G. Sakane, K. Minami, T. Yabuki, and A. Ichimura, *Inorg. Chem.*, 31, 640 (1992).
2. P. W. Dimmock, G. J. Lamprecht, and A. G. Sykes, *J. Chem. Soc., Dalton Trans.*, 955 (1991).
3. H. Akashi, T. Shibahara and H. Kuroya, *Polyhedron*, 9, 1671 (1990)
4. T. Shibahara, M. Yamasaki, H. Akashi and T. Katayama, *Inorg. Chem.*, 30, 2693 (1991)